

## ، البابُ الثاِمنُ

الذرة متعددة الالكترونات  
The many electron atoms  
The vector model نموذج المتجهات للذرة

$l h$

$\frac{1}{2\pi}$

لأى الكترون يدور حول النواة كمية حركة زاوية

كمية حركة زاوية

حيث  $l$  كمية متجهة تأخذ القيم

$S = \pm \frac{1}{2}$  هي  
وله ايضاً كمية حركة زاوية مفرزية  $\frac{s h}{2\pi}$  حيث  $s$  هي  
محللة كمية الحركة الزاوية للمتجهين  $l$  &  $h$  هي

$$\vec{j} = \vec{l} + \vec{s}$$

$$j = l \pm \frac{1}{2}$$

إى أنه لكل قيمة من قيم  $l$  يوجد قيمتان لمحللة كمية الحركة  
الزاوية  $j$  . عند وجود مجال مغناطيسي تميل هذه المتجهات بتاثير المجال  
بحيث تصنع مساقطها على اتجاه المجال ( الأعداد الكمية المغناطيسية  
 $m_l, m_s$  ) اعداداً صحيحة او نصف صحيحة  
integers or half integers

الربط بين الالكترونات  
electron coupling

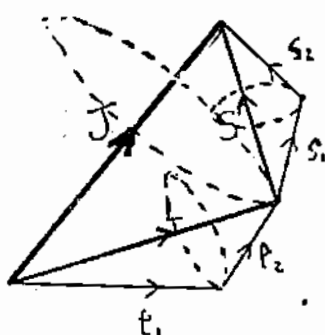
ال فعل البيني للالكترونات في الذرة متعددة الالكترونات يحدد صفات

التركيب الإلكتروني  $\text{electron configuration}$   
وبالتالي يحدد مستويات الطاقة في الذرة .

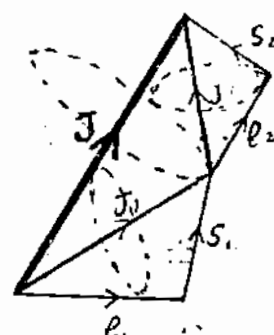
يوجد نوعان من الربط ( طریقتان للربط )

(1) نربط أولاً بين متجهات  $S$  للإلكترونات المختلطة فنحصل على

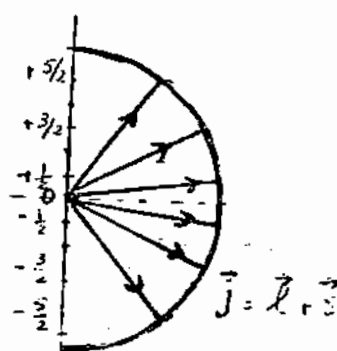
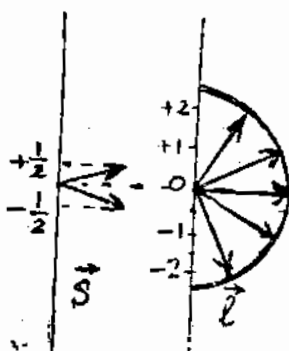
$$L = \sum_i l_i$$



L-S Coupling



J-J Coupling



شكل (١ - ٨)

وبالمثل بالنسبة للمتجهات  $s$  فتكون المحصلة

$$S = \sum_i s_i$$

فإذا حصلنا على المتجهة  $J$  حيث

$$\vec{J} = \vec{L} + \vec{S}$$

ويسمى هذا الربط بربط  $L-S$

(٢) إذا حصلنا متجهات  $\vec{l}_i$  ،  $\vec{s}_i$  لكل الكترون على حده لنجعل

$$\vec{j}_i = \vec{l}_i + \vec{s}_i$$

ثم نحصل المتجهات  $\vec{j}$  لجميع الإلكترونات حيث تسمى هذه الطريقة بـ  $L-S$  coupling. « Russells — Saunders coupling »

$$\vec{J} = \sum_i \vec{j}_i$$

وتوجد طرق أخرى لتحصيل هذه المتجهات ولكن الطريقة الأكثر استعمالا هي طريقة جمع المتجهات  $S & L$

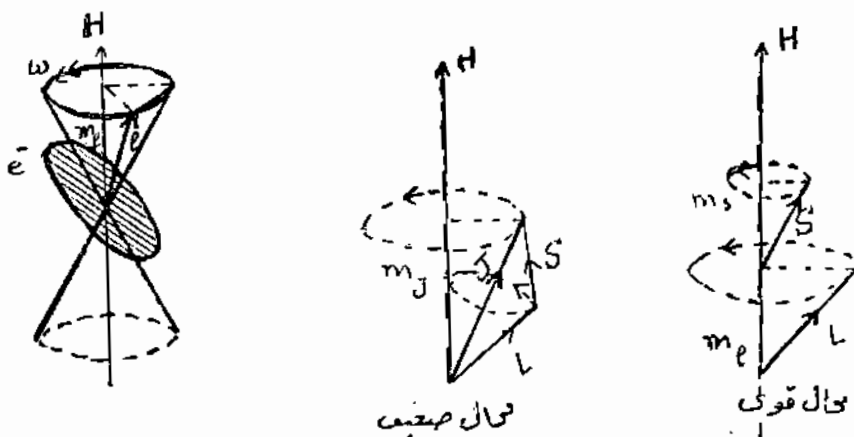
**حركة الكترون الذرة في مجال مغناطيسي :**

إذا أثينا بمجال مغناطيسي على ذرة ما مان محاور حركة الإلكترونات تدور حول المجال بسرعة زاوية  $\omega_L$  تساوى حسب النظرية الكهرمغناطيسية :

$$\omega_L = \frac{e H}{2mc}$$

حيث  $e$  شحنة الالكترون  $m$  كتلته ،  $c$  سرعة الضوء . ويكون تردد لارمور :

$$f_L = \frac{e H}{4\pi m c}$$



شكل (١٢ - ٨)

نعتبر الان ثلاثة حالات :

(أ) في ذرة معزولة يكون المتجه  $J$  ثابت الاتجاه والمقدار ولكن يدور كل من  $L$  ،  $S$  حول المتجه  $J$  وذلك بسبب المجال المغناطيسي الذاتي لحركة الالكترون والذي يسبب هذا الفعل البيئي المغزلي المداري spin - orbit interaction

(ب) في وجود مجال مغناطيسي ضعيف

تستمر حركة  $L$  ،  $S$  حول  $J$  ولكن يدور المتجه  $J$  أيضاً حول اتجاه المجال المغناطيسي  $H$  ويوصف عادة الالكترون في هذه الحالة بالاعداد الكمية الآتية :  $n$  ،  $l$  ،  $j$  ،  $m_j$

### (ج) في وجود مجال مغناطيسي قوي :

يتلاشى نسبياً أو يتضاعل تأثير الفعل البنى المفرزى المدارى في وجود مغناطيسي قوى اذ يكون عندئذ مجال الالكترون الذاتى صغير جداً نسبياً . ولذلك فان المتجه  $J$  (محصلة  $L$  ) يكون غير قائماً ويدور كل من  $H$   $S$   $L$  على انفراد حول المجال  $H$

وتوصف حالة الالكترون عندئذ بالاعداد الكمية  $n, l, m_l, m_s$

### تأثير المجال المغناطيسي على مستويات الطاقة في الذرة :

نعتبر اولاً الالكترون واحداً ممن في الذرة . حركته المدارية تكسبه عزم مغناطيسي  $m_l$  ويكافئ في تأثيره مغناطيسي يتعامد محوره مع مستوى المدار للالكترون

$$Ml = I.A. = - \frac{ev}{2\pi r c} \cdot \pi r^2$$

$$= - \frac{evr}{2c}$$

للالكترون ايضاً كمية حركة زاوية :

$$Pl = m v r$$

وبحذف السرعة  $v$  من المعادلين السابقتين نحصل على :

$$\therefore \vec{M}_l = - \frac{e}{2mc} \cdot \vec{P}_l$$

حيث يكون المتجهين  $\vec{M}_I$   $\vec{P}_I$  متعاكسيين اتجاهها لأن الالكترون شحنة سالبة .

عندما ندخل في الاعتبار الحركة المغزليّة للالكترون نجد حسب النظرية الكهرومغناطيسية عزماً مغناطيسياً  $M_s$  مصاحباً لهذه الحركة المغزليّة كذلك كمية حركة زاوية  $P_s$  ويمكن إثبات أن

$$\vec{M}_s = - \frac{e}{mc} \vec{P}_s$$

ويلاحظ هنا أن النظرية تعطى عزماً مغناطيسياً للحركة المغزليّة يعادل ضعف العزم المغناطيسي الناشئ عن الحركة المداريّة نفرض أثنا اثنتان بمجال مغناطيسى  $H$  في اتجاه  $Z$  مثلا تكون مركبتا  $P_s$  ،  $P_I$  في اتجاه المجال هما  $P_{IH}$  ،  $P_{SH}$  ويكون متوسط العزم المغناطيسي في اتجاه المجال هو

$$M = - \frac{e}{2mc} \left( P_{lh} + 2 P_{sh} \right)$$

عندما يكون هناك عدداً كبيراً من الالكترونات في الذرة الواحدة يكون هذا العزم المتوسط في اتجاه  $H$  هو :

$$\vec{M} = - \frac{e}{2mc} \left( \Sigma P_{lh} + 2 \Sigma P_{sh} \right)$$

إذا كان هذا العزم المتوسط في اتجاه المجال المغناطيسي فان الذرة تكون باراً مغناطيسياً paramagnetic

إذا كانت الحركة المغزليّة الالكترونيّة في الذرات المختلفة في المادة

ترتب مترادفة في اتجاه المجال المغناطيسي كانت هذه المادة فيه و مغناطيسية  
Ferro-magnetic

### نظرية الطاقة المغناطيسية : Theory of magnetic energy

عند التأثير بمجال مغناطيسي  $H$  على مغناطيس عزمه  $M$   
يكون للمغناطيس طاقة موضع تساوى  $MH \cos \Theta$  حيث  $\Theta$  هي  
الزاوية بين  $H$  ،  $M$  في حالة ذرة متعددة الالكترونات يكون التغير في  
مستوى الطاقة الذرية الناشئ عن المجال المغناطيسي هو

$$\Delta E_H = - \overline{M} H.$$

$$M = M_{cas}$$

حيث

وتساوي مركب العزم المغناطيسي في اتجاه  $H$

$$\therefore \frac{\Delta E}{H} = \frac{e H}{2mc} \Sigma \left( P_{lh} + 2 P_{sh} \right)$$

عندما يكون المجال قوياً تعرف حالة الالكترونات بالأعداد الكمية  
 $n, l, ml, ms$  وتكون مركبنا كمية الحركة الزاوية الدارية  
والمزدوجة  $P_{IH}, P_{SH}$  على الترتيب في اتجاه المجال هما

$$P_{IH} = ml \cdot \frac{\hbar}{2\pi}$$

$$P_{SH} = m_s \cdot \frac{\hbar}{2\pi}$$

ويكون عددها التغير في الطاقة المغناطيسية هو

$$\Delta E_H = \frac{e\hbar}{4\pi mc} \sum (m_1 + 2m_s) \cdot H$$

ويتم الجمع  $\Sigma$  على جميع الكترونات الذرة .

اذا كان مستوى الطاقة هو  $E_n$  قبل التأثير بال المجال ثم أصبح  $E_H$  بعد المجال فان

$$\Delta E = E_H - E_n$$

$$\therefore E_H = E_n + \frac{e\hbar}{4\pi mc} \sum (m_1 + 2m_s) \cdot H$$

ولما كان تغير  $(m_1 + 2m_s)$  دائما باعداد صحيحه integral وذلك فان كل مستوى اصلى واحد للطاقة الالكترونية  $E_n$  ينقسم الى عدد من المستويات  $E_H$  تميزها القيم الصحيحة  $ml + 2ms$  والتى تأخذ القيم من  $(l+1)$  عندما تكون  $ml = l$  الى  $ml = +\frac{1}{2}$  &  $ml = -\frac{1}{2}$   $ms = +\frac{1}{2}$  &  $ms = -\frac{1}{2}$  . وبعده عن بعضها بمقادير متساوية من الطاقة equally spaced الفرق بين اي مستويين

$$= \frac{e\hbar}{4\pi mc} B \cdot H$$

في شرارة المجال المغناطيسي .

فـ حالة مجال مغناطيسي قوى «تأثير زيمان المعتاد»

اذا اعتبرنا مستويين من الطاقة  $E_1$  ،  $E_2$  يميزهما  $n=1$   
 $v_0 = (E_2 - E_1)/\hbar$  يكون تردد خط الطيف بينهما هو

وعند التأثير بال المجال المغناطيسي يكون

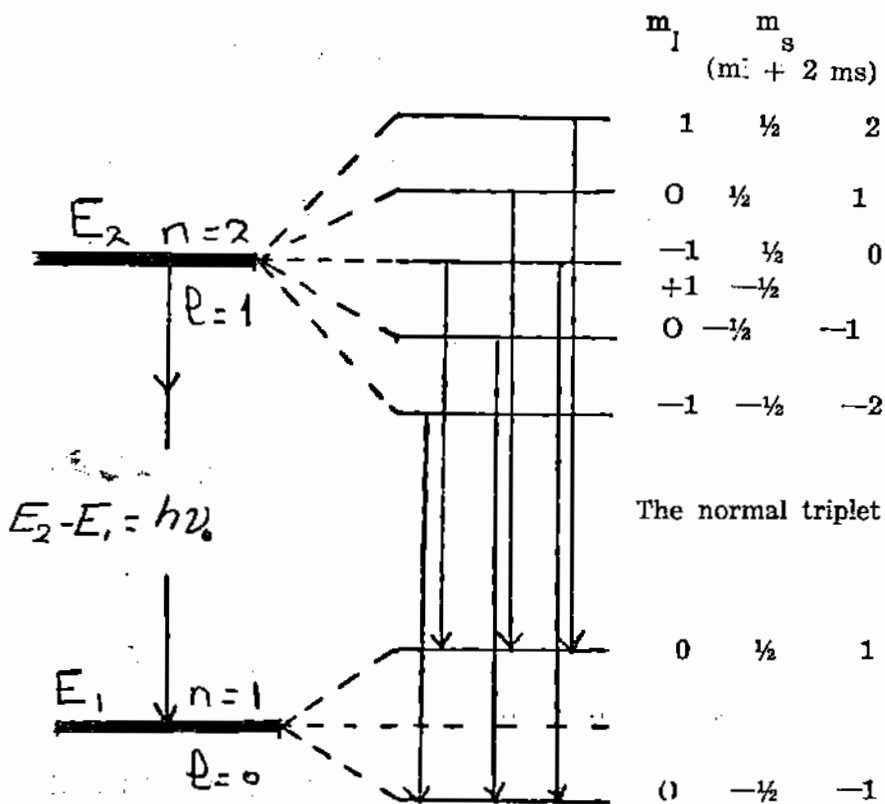
$$E_2 - E_1 = (E_2 - E_1) + \frac{e\hbar}{4\pi mc} (-m_l + 2m_s) H$$

حيث

$$\Delta m_l = m_l - ml \quad \& \quad \Delta m_s = ms - m_s.$$

( النجمة هنا تعنى وجود المجال المغناطيسي )

$$\therefore h\nu = h\nu + \frac{e\hbar}{4\pi mc} (\Delta m_l + 2\Delta m_s) \cdot H$$



شكل ( ٣ - ٨ )

$$\therefore v = v_0 + \frac{eH}{4\pi mc} (\Delta m_l + 2\Delta m_s)$$

وتعطى قاعدة الاختيار selection rule الشرط اللازم لكي يقفز الالكترون من المستوى المرتفع للمنخفض وهذه هي : —

$$\Delta l = \pm 1, \Delta (ml) = \pm 1 \text{ or } 0; \Delta ms = 0$$

.. الترددات الممكنة عند وجود المجال هي : —

$$(i) \Delta M = 0 \quad \therefore v = v_0$$

$$(ii) \Delta M = -1 \quad \therefore v = v_0 + \frac{eH}{4\pi mc}$$

$$(iii) \Delta M = +1 \quad \therefore v = v_0 - \frac{eH}{4\pi mc}$$

وهذا يدل على أن الخط الواحد  $v_0$  قد انقسم إلى ثلاثة تسمى بالثلاثي المعتمد Normal triplet ، وهذا يفسر تأثير زيمان المعتمد Normal Zeeman effect في حالة المجالات القوية .

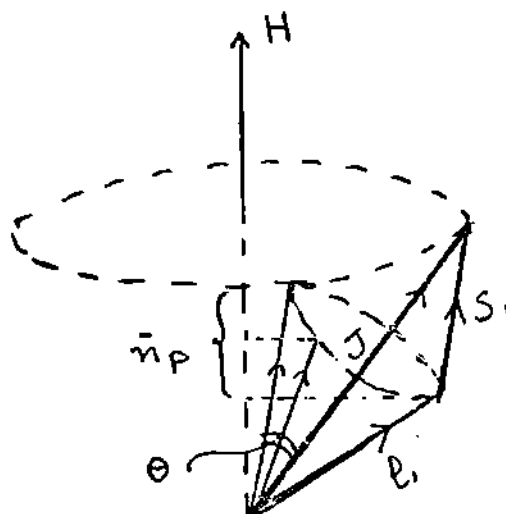
### تأثير زيمان الشزاد :

اما في حالة المجالات الضعيفة فقد وجد أن الخط الواحد ينقسم إلى عدد أكبر من الخطوط وسمى هذا بتأثير زيمان الشزاد Anomalous Zeeman's effect.

في حالة المجال المغناطيسي الضعيف يستمر الفعل البيني المداري

المغزلي ويكون لذلك العدد الكمي  $J$  متناسباً مثلكما المغناطيسية بالقيم المتوسطة لكميات الحركة الزاوية المدارية والمغزلي في المجال اتجاه المغناطيسى مركبات المتجهات ( $s$  ،  $I$ ) لكل الكترون في اتجاه عمودي على المحصلة  $J$  تلائى حيث أن الشكل من  $1$  ،  $s$  يدور حول  $J$  بدون التأثير عليه .

... مركبات  $I$  ،  $s$  في اتجاه  $J$  هي التي يكون لها التأثير فقط ونعطي مركبات هذه المركبات في اتجاه المجال  $H$  القيم المتوسطة لمركبات كمية الحركة الزاوية الالكترونية في اتجاه المجال المغناطيسى .



شكل ٨ - ٤

إذا كان  $M$  هو العدد الكمي الكلى المغناطيسى Total magnetic quantum number وهو يتناسب مع  $\cos \theta$  حيث  $\theta$  هي الزاوية بين اتجاه المحصلة  $J$  مع المجال  $H$  فلن

$$\bar{P}_{IH} = g_1 M \frac{h}{2\pi}$$

$$\bar{P}_{sH} = g_2 M \frac{h}{2\pi}$$

حيث  $g_1$  هي مقادير ثابتة (ثوابت النسب) ولا تتوقف على قيمة  $M$  . وبالتجمیع على كل الكترونات الذرة فان

$$\sum_{IH} \bar{P} + 2 \sum_{sH} \bar{P} = g M \frac{h}{2\pi}$$

حيث

$$g = \sum g_1 + \sum g_2$$

وبذلك نحصل على طاقة مستوى معین ،  $J$  مثلا

$$E_{HJ} = E_{OJ} + \frac{e h}{4\pi m c} g M H$$

حيث  $E_{OJ}$  .  $E_{HJ}$  هما طاقتي المستوى  $J$  في وجود وفي عدم

وجود المجال  $H$

من المعادلة السابقة يظهر انه في حالة التأثير بمجال مغناطيسي ضعيف ينقسم مستوى الطاقة  $J$  الى عدد من المستويات تفصل بينهما قيم متساوية من الطاقة . ويتوقف العدد على القيم المختلفة التي تأخذها  $M$

وقيمة المعامل  $g$  تتغير مع تغير المترى  $J$  ويسمى  $g$  بمعامل لاندى للانقسام Landé splitting factor

اذا اعتبرنا مستويين للطاقة  $J_1$  ،  $J_2$  فان

$$\frac{E}{HJ_1} = \frac{E}{OJ_1} + \frac{e\hbar}{4\pi mc} H g_1 M_1$$

$$\frac{E}{HJ_2} = \frac{E}{OJ_2} + \frac{e\hbar}{4\pi mc} H g_2 M_2$$

وبالطرح وبالقسمة على  $hc$  لايجاد الاعداد الموجية

$$\frac{1}{hc} \left( \frac{E}{HJ_2} - \frac{E}{HJ_1} \right) = \frac{1}{hc} \left( \frac{E}{OJ_2} - \frac{E}{OJ_1} \right) + \frac{eH}{4\pi mc^2} (g_2 M_2 - g_1 M_1)$$

or

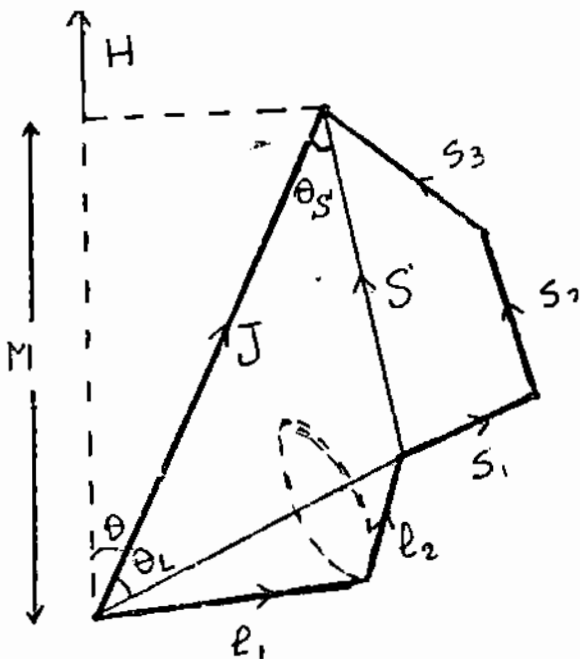
$$\overline{\tau} = \nu \overline{\epsilon} + (g_2 M_2 - g_1 M_1) L$$

$$\frac{eH}{4\pi mc^2} \text{ حيث } L \text{ تساوى}$$

وتعطى المعادلة السابقة جميع خطوط زيمان للمستويين  $J_1$  ،  $J_2$  عند وجود مجال مغناطيسي ضعيف . ويلاحظ ان  $M_1$  تأخذ القيم من  $+J_1$  الى  $-J_1$  وتنخذ  $M_2$  من  $+J_2$  الى  $-J_2$

ويختصر المقدار بين التوسيعين  $(g_2 M_2 - g_1 M_1)$  الى قاعدة الاختيار Selection rule

$$\Delta M = M_2 - M_1 \\ = 0 \text{ or } 1$$



شكل (٥ - ٨)

حساب معامل لاندى للانقسام :

اعتبر رابطة  $LS$  في مجال مغناطيسي ضعيف . يبين شكل (٨ - ٩) حالة ذرة ذات 3 الكترونات حيث  $O = l_1$

يتوقف اطوال مساقط المتجهات  $l_1$  ،  $l_2$  في اتجاه المجال المغناطيسي  $H$  على شدة المجال .

المركبات العمودية على L لكل من (J, L) تتلاشى عند تجميعها في جميع الأوضاع .

مجموع مساقط المتجهات I في اتجاه المجال H هي نفسها مسقط المتجه L في اتجاه H اي ان

$$\sum_{\text{H}} I = L \cos \frac{\theta}{L} \cos \theta$$

حيث  $\theta$  هي الزاوية بين (J, L)

$\theta$  هي الزاوية بين (J, H)

بالثلال بالنسبة للمتجهات S

$$\sum_{\text{H}} S = S \cos \frac{\theta}{S} \cos \theta$$

حيث  $\theta$  هي الزاوية بين (S, J)

من هندسة الشكل

$$M = J \cos \theta$$

$$S^2 = J^2 + L^2 - 2 L J \cos \frac{\theta}{L}$$

$$L^2 = J^2 + S^2 - 2 J S \cos \frac{\theta}{S}$$

$$\sum_{\text{H}} I = \frac{M}{2 J^2} (J^2 + L^2 - S^2)$$

$$\sum \frac{M}{H} S = \frac{M}{2J^2} (J^2 + S^2 - L^2)$$

ونظرا لأن نيوذج المتجهات للثرة يمثل بشكل ما كميات الحركة الزاوية لذلك تكون مركبات كمية الحركة الزاوية المدارية والمغزليّة في اتجاه  $H$

هي

$$\sum \frac{h}{IH} P = \frac{h}{2\pi} \sum \frac{1}{H}$$

$$\sum \frac{h}{sH} P = \frac{h}{2\pi} \sum \frac{s}{H}$$

ويستبدال الأعداد الكمية  $J^2$  ،  $S^2$  ،  $L^2$  بالمقادير  $(J+1)$  ،  $S(S+1)$  ،  $L(L+1)$  كما أثبتت النظرية الكمية ، نجد ان

$$\sum \frac{P}{IH} + 2 \sum \frac{P}{sH}$$

$$= \frac{Mh}{4\pi J(J+1)} \left[ (3J(J+1) + S(S+1) - L(L+1)) \right]$$

$$= \frac{Mh}{2\pi} \left[ (1 + \frac{J(J+1) + S(S+1) - L(L+1)}{2J(J+1)}) \right]$$

$$= g \frac{Mh}{2\pi}$$

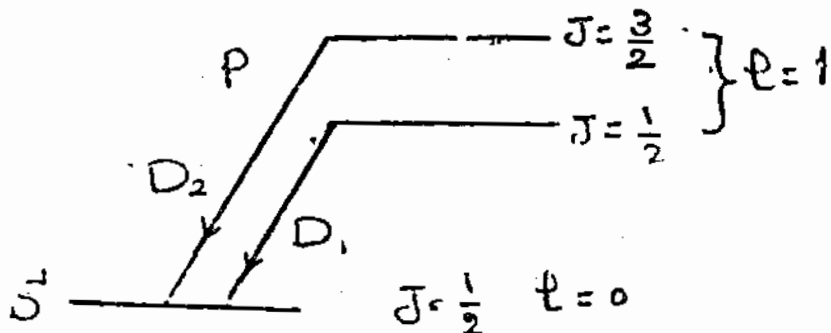
حيث  $g$  هو ثابت لاند للاقتسام ويعطى بالمقدار

$$g = \left[ \frac{J(J+1) + S(S+1) - L(L+1)}{(1 + \frac{S(S+1) - L(L+1)}{2J(J+1)})} \right]$$

$$= \frac{3/2}{2J(J+1)} + \frac{S(S+1) - L(L+1)}{2J(J+1)}$$

### حساب تأثير زيمان الشاذ لخطي الصوديوم :

يظهر في طيف الصوديوم خطان  $D_2$  و  $D_1$  في اللون الاصفر  $5896\text{A}^\circ$  وقد اظهر التحليل الطيفي أنهما ناشئان عن انتقال الالكترون من  $l = 1$  حيث الاعداد الكمية الداخلية هي  $p - state$  إلى الحالة  $S - state$  حيث الاعداد الكمية  $J = 3/2$  ،  $J = 1/2$  ،  $l = 0$  ،  $j = 1/2$  كما في شكل (٦ - ٨)



شكل (٦ - ٨)

اولا نحسب قيم  $g$

لكل من المستويات الثلاثة :

$$g_1 = 2 \quad \therefore \quad j = \frac{1}{2}, \quad l = 0 \quad - 1$$

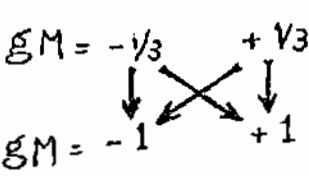
$$j = \frac{1}{2}, \quad l = 1 \quad - 2$$

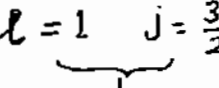
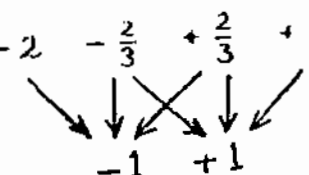
$$g_2 = \frac{\frac{1}{2} \times 3/2 - 1 \times 2}{2 \times \frac{1}{2} \times 3/2}$$

$$\therefore g_2 = \frac{2}{3}$$

$$\therefore g_3 = 4/3 \quad j = 3/2, \quad l = 1 \quad - 3$$

لإيجاد مواضع خطوط الطيف الجديدة في مجال مغناطيسي ضعيف تكون  
جدولاً كما يأتي :

$D_1$ transition	g-factor	$M = -\frac{1}{2}, \quad M = +\frac{1}{2}$
$\ell = 1 \quad j = 1/2$  $\ell = 0 \quad j = 1/2$	$g_2 = 2/3$ $g_1 = 2$	$gM = -\frac{1}{3}, \quad +\frac{1}{3}$ $gM = -1, \quad +1$ 

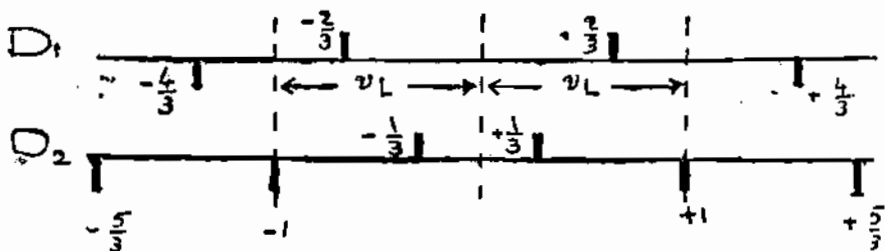
$D_2$ transition	g-factor	$-\frac{3}{2}, \quad -\frac{1}{2}, \quad \frac{1}{2}, \quad \frac{3}{2}$
$\ell = 1 \quad j = \frac{3}{2}$  $\ell = 0 \quad j = \frac{1}{2}$	$g_3 = \frac{4}{3}$ $g_1 = 2$	$-2, \quad -\frac{2}{3}, \quad +\frac{2}{3}, \quad +2$ $-1, \quad +1$ 

(٧-٨) شكل

$\Delta M = 1$

selection rules

$\Delta M = \pm 0$



شكل (A - A)

شكل يبين انقسام خطى

الصورة يوم في مجال مغناطيسي ضعيف